

Obsah

0.1	Strukturní analýza P/T sítí	1
0.1.1	Algebraické metody strukturní analýzy	2

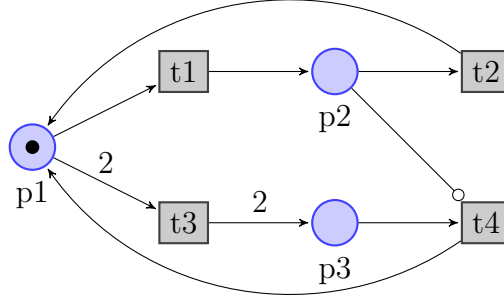
0.1 Strukturní analýza P/T sítí

Odhlédneme-li u PN-systémů od počátečního značení, získáme bipartitní orientovaný multigraf, který popisuje statickou strukturu Petriho sítě. Studium struktury Petriho sítí je zajímavé z toho důvodu, že všechny vlastnosti Petriho sítí dokázané pouze na základě struktury jsou platné pro všechny PN-systémy, které lze získat z PN-struktury přidáním libovolného počátečního značení. K strukturní analýze se uchylujeme zejména v případech, kdy selhává stavová analýza Petriho sítí založená na pojmu grafu dosažitelnosti. K takovému selhání dochází ve dvou případech:

- PN-systém je neomezený a množina dosažitelných značení a tedy i graf dosažitelnosti jsou nekonečné.
- PN-systém je omezený, ale množina dosažitelných značení je tak početná, že analýza grafu dosažitelnosti je mimo možnosti současných počítačů (state explosion problem).

Metody strukturní analýzy lze rozdělit do dvou skupin:

- metody lineární algebry (pracují s maticovou reprezentací PN-struktur),
- grafové metody (pracují přímo s grafovým popisem Petriho sítí).
 - metody redukce PN-systémů
 - metody využívající vlastností zámek a pastí
 - studium vlastností speciálních typů PN-struktur



Obrázek 1: Jednoduchá Petriho síť s inhibiční hranou.

0.1.1 Algebraické metody strukturní analýzy

Tyto metody využívají maticové reprezentace Petriho sítí.

Definice 0.1. Incidenční matice (incidence matrix, change matrix) PN-struktury $\langle P, T, I, O, H \rangle$ je matice

$$\mathbf{C} = \mathbf{O}^T - \mathbf{I}^T$$

typu $|P| \times |T|$, kde $\mathbf{O} = \{O(t, p)\}$ a $\mathbf{I} = \{I(t, p)\}$ jsou matice typu $|T| \times |P|$ reprezentující vstupní a výstupní funkci O, I .

Příklad 0.1. Uvažujme PN-strukturu zobrazenou na obr.0.1.

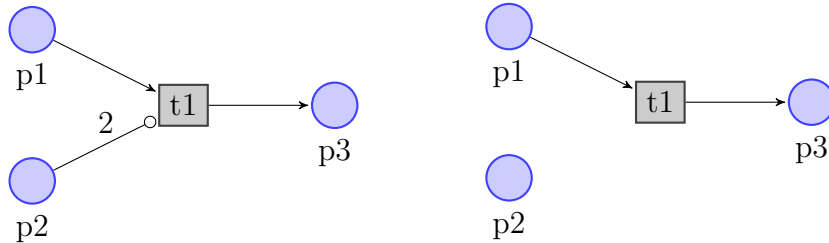
Incidenční matice Petriho sítě je:

$$\mathbf{C} = \mathbf{O}^T - \mathbf{I}^T = \begin{bmatrix} 0 & 1 & 0 & 1 \\ 1 & 0 & 0 & 0 \\ 0 & 0 & 2 & 0 \end{bmatrix} - \begin{bmatrix} 1 & 0 & 2 & 0 \\ 0 & 1 & 0 & 0 \\ 0 & 0 & 1 & 0 \end{bmatrix} = \begin{bmatrix} -1 & 1 & -2 & 1 \\ 1 & -1 & 0 & 0 \\ 0 & 0 & 2 & -1 \end{bmatrix}.$$

Řádky v maticích \mathbf{O} resp. \mathbf{I} , tj. sloupce v maticích \mathbf{O}^T resp. \mathbf{I}^T jsou tvořeny koeficienty multimnožin $O(t)$ resp. $I(t)$.

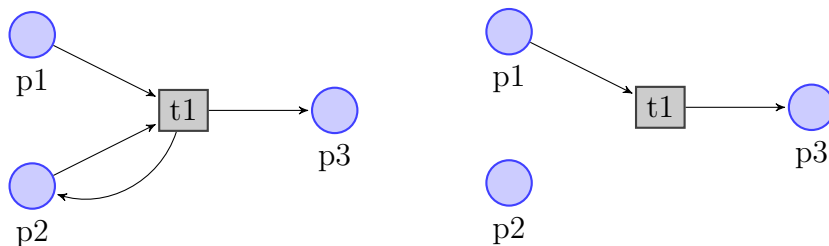
- Prvek $C(p, t)$ matice \mathbf{C} udává změnu počtu tokenů (kladnou, zápornou nebo nulovou) v místě p při provedení přechodu t .
Vektor $C(., t)$ (t -sloupec matice \mathbf{C}) udává změnu počtu tokenů v jednotlivých místech sítě při provedení přechodu t .
Vektor $C(p, .)$ (p -řádek matice \mathbf{C}) udává změnu značení místa p při provedení jednotlivých přechodů sítě.
- Při zobrazení struktury Petriho sítě pomocí incidenční matice může docházet ke ztrátě informace a to v případě použití inhibičních nebo testovacích hran:

- Existence inhibičních hran se nijak neprojeví na incidenční matici. Strukturně různé PN-systémy na obrázcích 2 a 3 mají stejnou incidenční matici.



Obrázek 2: PN s inhibiční hranou Obrázek 3: PN bez inhibiční hrany

- Hrany (p_2, t) , (t, p_2) na obrázku 4 jsou tzv. *testovací hrany* - pomocí nich přechod t testuje přítomnost tokenu v místě p_2 aniž by změnil počet tokenů v tomto místě. Strukturně různé PN-systémy na obrázcích 4 a 5 mají stejnou incidenční matici. Existence "testovacích" hran se nijak neprojeví na incidenční matici.



Obrázek 4: PN s testovací hranou Obrázek 5: PN bez testovací hrany

- Petriho sítě, ve kterých se nevyskytují jednoduché smyčky typu $p_2 - t$ zobrazené na obrázku 4 tj. sítě, pro něž $\bullet t \cap t \bullet = \emptyset$, se nazývají *čisté* (pure). Struktura čistých sítí bez inhibičních hran je incidenční maticí popsána úplně a jednoznačně.

V dalším textu této kapitoly budeme předpokládat, bez výslovného uvádění, že všechny uvažované Petriho sítě jsou jednoznačně popsány incidenční maticí.

Definice 0.2. Uvažujme posloupnost (sekvenci) přechodů $\sigma = t_{(1)}t_{(2)}\dots t_{(k)}$ chápanou jako slovo nad abecedou $T = \{t_1, t_2, \dots, t_{|T|}\}$, tj. $\sigma \in T^*$. *Charakteristickým vektorem* (transition count vector) sekvence σ nazveme vektor

$V_\sigma = (v_1, v_2, \dots, v_{|T|})^T$, kde v_i označuje počet výskytů přechodu t_i v sekvenci σ .

Charakteristický vektor V je pro značení M realizovatelný (possible), existuje-li sekvence spustitelná ze značení M taková, že $V = V_\sigma$.

Speciálně charakteristickým vektorem přechodu t_i je vektor $V_{t_i} = (v_1, v_2, \dots, v_{|T|})^T$, s jedinou nenulovou souřadnicí $v_i = 1$ a s $v_k = 0$ pro všechna $k \neq i$.

Stejně sekvence mají přirozeně tentýž charakteristický vektor, ale témuž charakteristickému vektoru může odpovídat mnoho různých sekvencí, z nichž některé mohou být realizovatelné a jiné nikoliv.

Věta 0.1. Nechtě σ je sekvence přechodů převádějící PN-systém ze značení M do značení M' , tj. $M \xrightarrow{\sigma} M'$. Potom platí

$$M' = M + C \cdot V_\sigma,$$

kde značení M , M' chápeme jako matice typu $|P| \times 1$ (sloupcové vektory), C je incidenční matice typu $|P| \times |T|$ a charakteristický vektor V_σ jako matici typu $|T| \times 1$ (sloupcový vektor). Vztah $M' = M + C \cdot V_\sigma$ bývá někdy nazýván *fundamentální rovnicí* (fundamental equation, state equation, marking equation).

Důkaz. Důkaz provedeme matematickou indukcí podle délky k posloupnosti σ .

- Nechtě $k = 1$, tj. $\sigma = t$. V tomto případě fundamentální rovnice platí, neboť:

$$M' = M + C(., t) = M + C \cdot V_t = M + C \cdot V_\sigma.$$

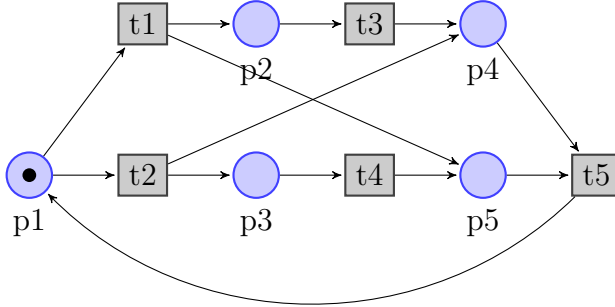
- Dokážeme, že z platnosti tvrzení pro sekvence délky k vyplývá platnost tvrzení pro sekvence délky $k+1$. Uvažujme sekvenci $\tau = \sigma t$ délky $k+1$ převádějící PN-systém ze značení M do značení M' . Přitom sekvence σ délky k převádí systém ze značení M do značení M'' a sekvence t délky 1 ze značení M'' do značení M' . Platí

$$M' = M'' + C \cdot V_t = M + C \cdot V_\sigma + C \cdot V_t = M + C \cdot (V_\sigma + V_t) = M + C \cdot V_\tau.$$

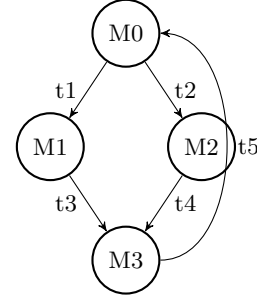
□

Platnost fundamentální rovnice je pouze nutnou podmínkou pro dosažitelnost $M \xrightarrow{\sigma} M'$, nikoliv však podmínkou postačující. Viz poslední odstavec textu následujícího příkladu. Jsou-li dvě různé sekvence σ , τ se společným charakteristickým vektorem $V_\sigma = V_\tau$ spustitelné ze značení M , pak provedení obou sekvencí vede vždy ke stejnému konečnému značení M' .

Příklad 0.2. Na obrázku 6 je zobrazen jednoduchý PN-systém a na obrázku 7 jeho graf dosažitelnosti. Algebraický výpočet grafu dosažitelnosti (na základě incidenční matice, tj. rovnice $\mathbf{M}' = \mathbf{M} + \mathbf{C}(\cdot, t)$) je proveden v tabulce 1.



Obrázek 6: Jednoduchá PN



Obrázek 7: Graf dosažitelnosti PN

	t1	t2	t3	t4	t5	M0	M1	M2	M3
p1	-1	-1	0	0	1	1	0	0	0
p2	1	0	-1	0	0	0	1	0	0
p3	0	1	0	-1	0	0	0	1	0
p4	1	0	0	1	-1	0	0	1	1
p5	1	0	0	1	-1	0	1	0	1
						M3+t5	M0+t1	M0+t2	M1+t3;M2+t4

Tabulka 1: Matice \mathbf{C} a dosažitelná značení.

PN systém je bezpečný, živý a reversibilní. Pro všechna dosažitelná značení $\{\mathbf{M}_0, \mathbf{M}_1, \mathbf{M}_2, \mathbf{M}_3\}$ má rovnice $\mathbf{M} - \mathbf{M}_0 = \mathbf{C} \cdot \mathbf{X}$ řešení (řešením jsou charakteristické vektory sekvencí, které převádějí PN-systém z počátečního stavu \mathbf{M}_0 do stavu \mathbf{M}). Rovnice $\mathbf{M} - \mathbf{M}_0 = \mathbf{C} \cdot \mathbf{X}$ má však často řešení i pro nedosažitelná značení. Tak např. pro značení $\mathbf{M} = (0, 1, 1, 0, 0)^T$, které není dosažitelné, má fundamentální rovnice řešení $\mathbf{X} = (1, 1, 0, 0, 1)^T$.

Definice 0.3. *P-invariantem struktury* $\langle P, T, I, O \rangle$ (p-semiflow) nazýváme vektor $\mathbf{Y} = (y_1, y_2, \dots, y_{|P|})^T$, $y_i \in \mathbb{N} = \{0, 1, 2, \dots\}$, který anulují zleva incidenční matici \mathbf{C} , tj. vektor, pro který platí

$$\mathbf{Y}^T \cdot \mathbf{C} = \mathbf{0}^T.$$

Množina $P_Y = \{p_i \in P : y_i > 0\}$ se nazývá *nosičem p-invariantu* \mathbf{Y} . Je-li aspoň jedno $y_i > 0$, pak p-invariant nazýváme *netriviálním*. Triviální nulový

invariant $\mathbf{Y} = \mathbf{0}$ nemá žádný praktický význam. Jsou-li všechna $y_i \in \{0, 1\}$, pak p-invariant nazýváme *binárním*.

Věta 0.2. Necht' $\mathbf{Y}_1, \mathbf{Y}_2$ jsou p-invarianty a k_1, k_2 celá nezáporná čísla. Potom platí:

1. Lineární kombinace $k_1 \mathbf{Y}_1 + k_2 \mathbf{Y}_2$ je rovněž p-invariantem a jeho nosičem je sjednocení nosičů p-invariantů $\mathbf{Y}_1, \mathbf{Y}_2$.
2. Je-li $\mathbf{Y}_1 - \mathbf{Y}_2 \geq \mathbf{0}$, pak $\mathbf{Y}_1 - \mathbf{Y}_2$ je rovněž p-invariantem.

Důkaz. 1. $(k_1 \mathbf{Y}_1 + k_2 \mathbf{Y}_2)^T \mathbf{C} = (k_1 \mathbf{Y}_1^T + k_2 \mathbf{Y}_2^T) \mathbf{C} = k_1 \mathbf{Y}_1^T \mathbf{C} + k_2 \mathbf{Y}_2^T \mathbf{C} = k_1 \mathbf{0}^T + k_2 \mathbf{0}^T = \mathbf{0}^T$

$$2. (\mathbf{Y}_1 - \mathbf{Y}_2)^T \mathbf{C} = (\mathbf{Y}_1^T - \mathbf{Y}_2^T) \mathbf{C} = \mathbf{Y}_1^T \mathbf{C} - \mathbf{Y}_2^T \mathbf{C} = \mathbf{0}^T - \mathbf{0}^T = \mathbf{0}^T \quad \square$$

Petriho síť je *pokryta p-invarianty*, jestliže každé místo patří do nosiče nějakého p-invariantu PN-struktury. Je-li Petriho síť pokryta p-invarianty, pak existuje p-invariant, který pokrývá celou síť (jeho nosičem je množina všech míst).

Množina všech p-invariantů dané PN-struktury představuje speciální druh lineárního (vektorového) prostoru, ve kterém koeficienty lineárních kombinací mohou být pouze celá nezáporná čísla.

P-invariant $\mathbf{Y} = (y_1, y_2, \dots, y_{|P|})^T$ je v *kanonickém tvaru*, jestliže jeho souřadnice y_i jsou nesoudělné (jejich největší společný dělitel je 1). P-invariant $\mathbf{Y} = (y_1, y_2, \dots, y_{|P|})^T$ je *minimální*, jestliže neexistuje žádný jiný p-invariant \mathbf{Y}' (téže dané struktury) pro který by platilo $\mathbf{Y}' \leq \mathbf{Y} \wedge \mathbf{Y}' \neq \mathbf{Y}$. Systém p-invariantů (dané struktury) je úplný, jestliže každý p-invariant (téže dané struktury) je vyjádřitelný jako jejich lineární kombinace.

Následující algoritmus umožňuje vypočítat úplný systém p-invariantů (případně t-invariantů duální PN).

Věta 0.3. Necht' \mathbf{Y} je p-invariantem PN-struktury $\langle P, T, I, O \rangle$. Potom pro všechny PN-systémy $\langle P, T, I, O, M_0 \rangle$ platí:

$$(\forall \mathbf{M} \in RS(\mathbf{M}_0)[\mathbf{Y}^T \mathbf{M} = \mathbf{Y}^T \mathbf{M}_0].$$

Důkaz. Podle věty 0.1 platí pro libovolná značení \mathbf{M}, \mathbf{M}' implikace

$$\mathbf{M} \xrightarrow{\sigma} \mathbf{M}' \Rightarrow \mathbf{M}' = \mathbf{M} + \mathbf{C} \cdot \mathbf{V}_\sigma,$$

neboli speciálně také

$$\mathbf{M}_0 \xrightarrow{\sigma} \mathbf{M} \Rightarrow \mathbf{M} = \mathbf{M}_0 + \mathbf{C} \cdot \mathbf{V}_\sigma.$$

Algoritmus 1: Výpočet úplného systému minimálních p-invariantů

Vstup: Incidenční matice \mathbf{C} typu $(m, n) = (|P|, |T|)$.

Výstup: Množina všech minimálních p-invariantů.

- 1 Inicializace: $\mathbf{A} = \mathbf{C}$, $\mathbf{B} = \mathbf{I}_m$, (\mathbf{I}_m je jednotková matice řádu $m = |P|$).
- 2 Pro $j = 1, 2, \dots, n$ ($n = |T|$) prováděj: Přidej ke složené matici $[\mathbf{A}|\mathbf{B}]$ všechny řádky, které jsou lineárními kombinacemi s přirozenými koeficienty dvojic řádků z matice $[\mathbf{A}|\mathbf{B}]$ a které současně anulují j-tý sloupec matice \mathbf{A} a potom vyškrtej z matice $[\mathbf{A}|\mathbf{B}]$ všechny řádky s nenulovým prvkem v j-tém sloupci matice \mathbf{A} .
- 3 Všechny řádky matice \mathbf{B} převed' do kanonického tvaru (tj. vyděl každý řádek největším společným dělitelem všech jeho prvků).
- 4 Odstraň z matice \mathbf{B} všechny neminimální p-invarianty (tj. vyškrtej z matice \mathbf{B} všechny řádky, které pokrývají nějaký jiný řádek matice \mathbf{B}).
- 5 Řádky matice \mathbf{B} představují úplný soubor minimálních p-invariantů PN struktury

Vynásobíme-li poslední maticovou rovnici vektorem (řádkovou maticí) \mathbf{Y}^T dostaneme vztah

$$\mathbf{Y}^T \mathbf{M} = \mathbf{Y}^T \mathbf{M}_0 + \mathbf{Y}^T \mathbf{C} \mathbf{V}_\sigma.$$

Podle předpokladu věty je \mathbf{Y} p-invariantem příslušné PN-struktury. Platí tedy $\mathbf{Y}^T \mathbf{C} = \mathbf{0}^T$ a poslední rovnice se redukuje na vztah $\mathbf{Y}^T \mathbf{M} = \mathbf{Y}^T \mathbf{M}_0$, který měl být dokázán. \square

Definice 0.4. Vztah

$$\mathbf{Y}^T \mathbf{M} = \mathbf{Y}^T \mathbf{M}_0$$

platný podle věty 0.3 pro všechna značení \mathbf{M} dosažitelná z počátečního značení \mathbf{M}_0 , nazýváme *p-invariantem PN-systému* $\langle P, T, I, O, M_0 \rangle$ (conservation law). *P-invariant* \mathbf{Y} *příslušné struktury* $\langle P, T, I, O \rangle$ má zde význam váhového vektoru: jeho souřadnice y_i jsou konstanty, udávající váhu značení $m_i = M(p_i)$ jednotlivých míst p_i . Rozepsáním maticového zápisu do skalární podoby, dostáváme vztah

$$\sum_{i=1}^{|P|} y_i m_i = k,$$

kde k je konstanta určená vztahem

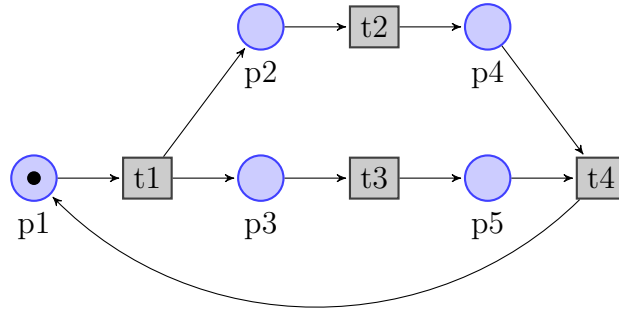
$$k = \mathbf{Y}^T \mathbf{M}_0 = \sum_{\forall i} y_i m_{O_i}.$$

Podsystém systému $\langle P, T, I, O, M_0 \rangle$ indukovaný nosičem p-invariantu $P_{\mathbf{Y}}$ se nazývá *konzervativní komponentou* tohoto systému (spolu se všemi místy

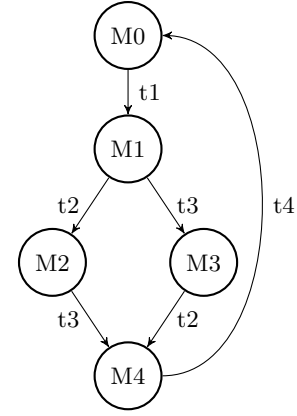
z nosiče $P_{\mathbf{Y}}$ patří do komponenty také všechny přechody, které jsou bezprostředními sousedy těchto míst a také všechny hrany spojující tato místa a přechody). Systém $\langle P, T, I, O, M_0 \rangle$ je *konzervativní*, jestliže existuje p-invariant takový, že $P_{\mathbf{Y}} = P$. Systém je *striktně konzervativní*, jestliže navíc $y_i = 1$ pro všechna $i = 1, 2, \dots, |P|$.

Je-li PN-systém konzervativní a je-li počáteční značení konečné, pak je PN-systém omezený.

Příklad 0.3. Uvažujme PN-systém zobrazený na obrázku 8. V tabulce 2 je vypočtena množina dosažitelných značení a na obrázku 9 je zobrazen graf dosažitelnosti.



Obrázek 8: Jednoduchá PN



Obrázek 9: Graf dosažitelnosti PN

	t1	t2	t3	t4		M0	M1	M2	M3	M4
p1	-1	0	0	1	m1	1	0	0	0	0
p2	1	-1	0	0	m2	0	1	0	0	0
p3	1	0	-1	0	m3	0	0	1	0	0
p4	0	1	0	-1	m4	0	0	1	1	1
p5	0	0	1	-1	m5	0	1	0	1	1
						M4+t4	M0+t1	M1+t2	M1+t2	M2+t3;M3+t2

Tabulka 2: Matice \mathbf{C} a dosažitelná značení.

Nejdříve nalezneme strukturní p-invarianty PN-systému (obrázek 8). Budeme postupovat podle algoritmu 1, který je reprezentován tabulkou 3.

	C				B				
1.	-1	0	0	1	1	0	0	0	0
2.	1	-1	0	0	0	1	0	0	0
3.	1	0	-1	0	0	0	1	0	0
4.	0	1	0	-1	0	0	0	1	0
5.	0	0	1	-1	0	0	0	0	1
6.=1.+2.	0	-1	0	1	1	1	0	0	0
7.=1.+3.	0	0	-1	1	1	0	1	0	0
8.=4.+6.	0	0	0	0	1	1	0	1	0
9.=5.+7.	0	0	0	0	1	0	1	0	1

Tabulka 3: Výpočet p-invariantů dle algoritmu 1. V tabulce zůstaly poslední dva nulové řádky (v části C) jimž odpovídají p-invarianty v části B.

Nalezené p-invarianty jsou: $\mathbf{Y}_1 = (1, 1, 0, 1, 0)^T$ a $\mathbf{Y}_2 = (1, 0, 1, 0, 1)^T$ a všechna ostatní řešení jsou tvaru $k_1\mathbf{Y}_1 + k_2\mathbf{Y}_2$, $k_1, k_2 \in \{0, 1, 2, \dots\}$. Ze složených p-invariantů je nejvýznamnější $\mathbf{Y}_3 = \mathbf{Y}_1 + \mathbf{Y}_2 = (2, 1, 1, 1, 1)^T$.

Všechny uvedené invarianty jsou v kanonickém tvaru. Invarianty $\mathbf{Y}_1, \mathbf{Y}_2$ jsou minimální a tvoří úplný systém minimálních invariantů (tj. každý jiný invariant lze vyjádřit jako jejich lineární kombinaci s celočíselnými nezápornými koeficienty). Invariant \mathbf{Y}_3 minimální není, protože např. $\mathbf{Y}_3 \geq \mathbf{Y}_1$. Vzhledem k tomu, že existuje p-invariant pokrývající celou množinu P ($P_{Y_3} = P = \{p_1, p_2, p_3, p_4, p_5\}$), je PN-systém konzervativní, ale nikoliv striktně. Strukturním p-invariantům $\mathbf{Y}_1, \mathbf{Y}_2, \mathbf{Y}_3$ odpovídají systémové p-invarianty $\mathbf{Y}_1^T \mathbf{M} = \mathbf{Y}_1^T \mathbf{M}_0, \mathbf{Y}_2^T \mathbf{M} = \mathbf{Y}_2^T \mathbf{M}_0, \mathbf{Y}_3^T \mathbf{M} = \mathbf{Y}_3^T \mathbf{M}_0$, které lze rozepsat do následujících rovnic

$$\begin{aligned} m_1 + m_2 + m_4 &= 1, \\ m_1 + m_3 + m_5 &= 1, \\ 2m_1 + m_2 + m_3 + m_4 + m_5 &= 2. \end{aligned}$$

Platnost uvedených rovnic pro všechna značení dosažitelná z počátečního značení M_0 lze ověřit z tabulky dosažitelných značení 2, a nebo - díky jednoduchosti zvoleného příkladu - ověřit přímo z obrázku 8.

Definice 0.5. *T-invariantem struktury $\langle P, T, I, O \rangle$ (t-semiflow) nazýváme vektor $\mathbf{X} = (x_1, x_2, \dots, x_{|T|})^T$, $x_i \in N = \{0, 1, 2, \dots\}$, který anulují zprava incidenční matici, tj. vektor pro který platí*

$$\mathbf{C}\mathbf{X} = \mathbf{0}.$$

Množina $T_X = \{t_i \in T : x_i > 0\}$ se nazývá *nosičem t-invariantu \mathbf{X}* . Je-li aspoň jedno $x_i > 0$, pak invariant nazýváme *netriviálním*, jsou-li všechna $x_i \in \{0, 1\}$, pak t-invariant nazýváme *binárním*.

Věta 0.4. Necht' $\mathbf{X}_1, \mathbf{X}_2$ jsou t-invarianty a k_1, k_2 celá nezáporná čísla. Potom platí:

- Lineární kombinace $k_1\mathbf{X}_1 + k_2\mathbf{X}_2$ je rovněž t-invariantem a jeho nosičem je sjednocení nosičů invariantů $\mathbf{X}_1, \mathbf{X}_2$.
- Je-li $\mathbf{X}_1 - \mathbf{X}_2 \geq \mathbf{0}$, pak $\mathbf{X}_1 - \mathbf{X}_2$ je rovněž t-invariantem.

Důkaz. Obdobný jako důkaz věty 0.2 □

Petriho síť je pokryta t-invarianty, jestliže každé přechod patří do nosiče nějakého t-invariantu PN-struktury. Je-li Petriho síť pokryta t-invarianty, pak existuje t-invariant, který pokrývá celou síť (jeho nosičem je množina všech přechodů).

Množina všech t-invariantů dané PN-struktury představuje druh lineárního (vektorového) prostoru, ve kterém jsou přípustné pouze celočíselné a nezáporné lineární kombinace vektorů.

Pojmy kanonický tvar invariantu, minimální invariant, úplný systém invariantů jsou pro t-invarianty definovány stejným způsobem jako pro p-invarianty.

Výpočet úplného systému minimálních t-invariantů lze převést na výpočet úplného systému minimálních p-invariantů duální PN-struktury (definice 0.7).

Pro výpočet t-invariantů lze použít algoritmu 1 pro výpočet p-invariantů, s jediným rozdílem - místo incidenční matice \mathbf{C} použijeme její transpozici \mathbf{C}^T (přesněji: v inicializačním kroku algoritmu klademe $\mathbf{A} = \mathbf{C}^T$, $\mathbf{B} = \mathbf{I}_n$, kde \mathbf{I}_n je jednotková matice řádu $n = |T|$).

Věta 0.5. Necht' \mathbf{X} je t-invariantem PN-struktury $\langle P, T, I, O \rangle$. Potom existuje PN-systém $\langle P, T, I, O, M_0 \rangle$ takový že:

$$(\exists \sigma \in T^*)[\mathbf{M}_0 \xrightarrow{\sigma} \mathbf{M}_0 \wedge \mathbf{V}\sigma = \mathbf{X}]$$

Důkaz. Podle věty 0.1 platí pro libovolná značení \mathbf{M}, \mathbf{M}' implikace

$$\mathbf{M} \xrightarrow{\sigma} \mathbf{M}' \Rightarrow \mathbf{M}' = \mathbf{M} + \mathbf{C}\mathbf{V}_\sigma,$$

neboli speciálně také

$$\mathbf{M}_0 \xrightarrow{\sigma} \mathbf{M} \Rightarrow \mathbf{M} = \mathbf{M}_0 + \mathbf{C}\mathbf{V}_\sigma.$$

Položíme-li $\mathbf{V}_\sigma = \mathbf{X}$, pak $\mathbf{C}\mathbf{V}_\sigma = \mathbf{C}\mathbf{X} = \mathbf{O}$ (neboť \mathbf{X} je t-invariant) a tedy $\mathbf{M} = \mathbf{M}_0$. Výše uvedenou implikaci nelze obrátit a tedy nikoliv jakákoliv posloupnost přechodů σ s daným charakteristickým vektorem $\mathbf{V}_\sigma = \mathbf{X}$ musí být proveditelná při jakémkoliv značení M_0 . S tím souvisí použití existenčních kvantifikátorů v tvrzení věty. \square

Definice 0.6. Posloupnost přechodů $\sigma \in T^*$ pro kterou platí $\mathbf{M}_0 \xrightarrow{\sigma} \mathbf{M}_0$ nazýváme *t-invariantem PN-systému* $\langle P, T, I, O, M_0 \rangle$ (reproduction law).

Podsystém systému $\langle P, T, I, O, M_0 \rangle$ indukovaný nosičem t-invariantu T_X se nazývá *repetiční komponentou* tohoto systému (spolu se všemi přechody z nosiče T_X patří do komponenty také všechna místa, které jsou bezprostředními sousedy těchto přechodů a také všechny hrany spojující tyto přechody a místa). Systém $\langle P, T, I, O, M_0 \rangle$ je *repetiční (konzistentní)*, jestliže existuje t-invariant takový, že $T_X = T$. Systém je *striktně repetiční*, jestliže navíc $x_i = 1$ pro všechna $i = 1, 2, \dots, |T|$.

Definice 0.7. Předpokládejme PN-struktury bez inhibičních hran. Potom PN-struktura $\langle P', T', I', O' \rangle$ je **duální** k struktuře $\langle P, T, I, O \rangle$, jestliže platí:

$$P' = T \wedge T' = P \wedge O' = I \wedge I' = O.$$

Duální struktura vznikne z původní vzájemnou záměnou míst a přechodů a změnou orientace všech hran při zachování jejich násobnosti.

Z definice 0.7 vyplývá, že je-li $\langle P', T', I', O' \rangle$ duální k $\langle P, T, I, O \rangle$, pak také $\langle P, T, I, O \rangle$ je duální k $\langle P', T', I', O' \rangle$. Uvedené struktury jsou tedy duální navzájem.

Věta 0.6. Nechť $\langle P', T', I', O' \rangle$ a $\langle P, T, I, O \rangle$ jsou vzájemně duální sítě s incidenčními maticemi \mathbf{C}' a \mathbf{C} . Potom platí:

- $\mathbf{C}' = \mathbf{C}^T$,
- p-invariant struktury $\langle P', T', I', O' \rangle$ je t-invariantem struktury $\langle P, T, I, O \rangle$,
- t-invariant struktury $\langle P', T', I', O' \rangle$ je p-invariantem struktury $\langle P, T, I, O \rangle$,

Důsledkem této věty je, že výpočet úplného systému mnimálních t-invariantů dané PN-struktury může být proveden podle téhož algoritmu jako výpočet úplného systému mnimálních p-invariantů (viz popis algoritmu 1) s jediným rozdílem: místo s incidenční maticí \mathbf{C}' pracujeme s její transpozicí \mathbf{C}^T . Výpočet je ilustrován v příkladě 0.4.

Příklad 0.4. Spočteme t-invarianty Petriho sítě z příkladu 0.3. Proces výpočtu t-invariantu je demonstrován tabulkou 4.

	C^T					B			
1.	-1	1	1	0	0	1	0	0	0
2.	0	-1	0	1	0	0	1	0	0
3.	0	0	-1	0	1	0	0	1	0
4.	1	0	0	-1	-1	0	0	0	1
5.=1.+4.	0	1	1	-1	-1	1	0	0	1
6.=2.+5.	0	0	1	0	-1	1	1	0	1
7.=3.+6.	0	0	0	0	0	1	1	1	1

Tabulka 4: Výpočet t-invariantů dle algoritmu 1. V tabulce zůstal poslední nulový řádek (v části C) jemuž odpovídá t-invariant v části B.

Strukturní t-invariant $\mathbf{X} = (1, 1, 1, 1)$ tvoří úplný minimální systém t-invariantů a je v kanonickém tvaru. Protože nosičem tohoto t-invariantu je celá množina T , je tato síť repetiční. Další strukturní t-invarianty jsou nezápornými násobky \mathbf{X} . Systémovým t-invariantem je posloupnost přechodů taková, že její charakteristický vektor je roven některému t-invariantu. Např. $\sigma_1 = t_1, t_2, t_3, t_4$ nebo $\sigma_2 = t_1, t_3, t_2, t_4$. Platí, že $V_{\sigma_1} = V_{\sigma_2} = \mathbf{X}$.